



سنتز نانوذرات مخلوط اکسیدهای فلزی لانتان-روی - آلمینات با روش احتراقی و تاثیرشان در رنگبری رنگزهای اسید آبی ۹۲ و راکتیو آبی ۱۹

فرزانه باقرپور سردصرحا، زهرا شریعتی نیا^۱، شهرلا شکرریز^{۲*}، نیازمحمد محمودی^۳

۱- دانشجوی کارشناس ارشد، گروه مستقل شیمی، دانشگاه صنعتی امیرکبیر، تهران، ایران، صندوق پستی: ۱۵۹۱۶۳-۴۳۱۱

۲- دانشیار، گروه مستقل شیمی، دانشگاه صنعتی امیرکبیر، تهران، ایران، صندوق پستی: ۱۵۹۱۶۳-۴۳۱۱

۳- استادیار، پژوهشکده رنگ و پلیمر، دانشگاه صنعتی امیرکبیر، تهران، ایران، صندوق پستی: ۱۵۹۱۶۳-۴۳۱۱

۴- استادیار، گروه پژوهشی رنگ و محیط زیست، موسسه پژوهشی علوم و فناوری رنگ و پوشش، تهران، ایران، صندوق پستی: ۱۶۷۶۵-۱۶۵۴

در دسترس به صورت الکترونیکی از: ۱۳۹۴/۶/۲۰ تاریخ پذیرش: ۹۳/۲/۲۳ تاریخ دریافت: ۹۳/۲/۱۷

چکیده

در این تحقیق، نانوذرات جدید مخلوط اکسیدهای فلزی لانتان-روی-آلومینات با استفاده از روش احتراقی سنتز و با روش‌های تصاویر میکروسکوپ روشی الکترونی، XRD و EDAX شناسایی گردید. سطح نانوذرات به دست آمده با ترکیب آمینوسیلان اصلاح شد و کاربرد این نانوذرات در رنگبری رنگزهای اسید آبی ۹۲ و راکتیو آبی ۱۹ مورد بررسی قرار گرفت. اثر عوامل مانند مقدار جاذب، غلظت اولیه رنگ، pH و نمک روی حذف رنگزها مورد تجزیه و تحلیل قرار گرفت. سینتیک و ایزوترم های متداول نیز مطالعه و بررسی شدند و طبق بررسی های انجام گرفته، سینتیک جدی و ایزوترم حاکم بر سیستم به ترتیب سینتیک شبه مرتبه دوم و ایزوترم لانگمویر به دست آمدند. واژه‌های کلیدی: سنتز، نانوذرات، رنگبری، ایزوترم، سینتیک.

Synthesis of Mixed Metal Oxides of Lanthanum-Zinc-Aluminate Nanoparticles by Combustion Method and Their Effects on Removal of Acid Blue 92 and Reactive Blue 19 Dyes

F. Bagherpour Sardsahra¹, Z. Shariatinia¹, Sh. Shekarriz^{*2}, N. M. Mahmoodi³

¹ Department of Chemistry, Amirkabir University of Technology, P.O.Box: 15875-4311, Tehran, Iran

² Colour and Polymer Research Centre, Amirkabir University of Technology, P.O. Box: 15875-4413, Tehran, Ira

³ Department of Environmental Research, Institute for Color Scince and Technology, P.O. Box: 16765-654, Tehran, Iran

Received: 07-05-2014

Accepted: 13-05-2015

Available online: 11-09-2015

Abstract

In this research, the mixed metal oxides of lanthanum - zinc - aluminate nanoparticles were synthesized by combustion method and characterized by SEM, FTIR, XRD and EDAX. The surface of the synthesized nanoparticle was modified by aminosilane and used to remove Acid Blue 92 (AB 92) and Reactive Blue 19 (RB 19). The effect of adsorbent dosage, initial dye concentration, pH and salt on dye removal was investigated. The kinetics and isotherm of dye removal was studied. The results showed that dye removal followed pseudo-second order kinetics and the Langmuir isotherm. J. Color Sci. Tech. 9(2015), 145-157©. Institute for Color Science and Technology.

Keywords: Synthesis, Nanoparticles, Dye removal, Isotherm, Kinetics.

تصفیه می‌توان روش‌های متفاوتی را انتخاب کرد، در اینجا به چهار روش اصلی تصفیه پس از اشاره خواهیم کرد [۶].

۱. روش‌های فیزیکی که در آن آلودگی با استفاده از روش‌های فیزیکی بر طرف می‌شود مانند صاف کردن، لخته‌سازی و جذب [۷].

۲. روش‌های شیمیایی که در این روش آلودگی‌ها با روش‌های شیمیایی تخریب می‌شوند.

۳. زیستی که در آن با استفاده از میکرو اورگانیسم‌ها مواد قابل تجزیه زیستی زدوده می‌شوند. این روش‌ها بازده رنگبری کمی دارند، برای

مثال برای رنگزهای مستقیم فقط٪/۸۰ رنگبری دارند [۸].

۴. تصفیه با استفاده از تابش و فراصوت که در کنار روش‌های تصفیه دیگر می‌آیند.

در مورد پساب‌های نساجی که بسیار پیچیده و متنوع هستند می‌توان از روش‌های زیستی، لجن فعال، روش‌های شیمیایی مانند لخته‌سازی، روش‌های فیزیکی مانند جذب، صاف کردن و روش‌های اکسیداسیون استفاده کرد.

فرآیند جذب سطحی، یکی از رایج‌ترین و مهم‌ترین روش‌های حذف ترکیبات آلی است. این روش علاوه بر کاهش ترکیبات آلی، برای کاهش فلزات از پساب‌ها نیز کاربرد دارد. فرآیندهای جداسازی مواد به روش جذب سطحی، در بسیاری از روش‌های تصفیه مکانیکی، شیمیایی و زیستی، دارای اهمیت ویژه‌ای هستند.

جداسازی مواد مبتنی بر این واقعیت است که ماده آلاینده موجود در محلول‌های آبی جذب ماده جاذب می‌شود و سپس می‌توان آن را همراه با ماده جاذب با استفاده از روش‌های مانند صاف کردن، از آب جدا کرد. ماده جاذبی که از آلاینده اشباع شده است را می‌توان با روش‌های که منجر به نابود شدن ماده جذب شده می‌گردد، بازیابی کرده و برای مصرف مجدد آماده ساخت. این کار به کمک فرآیندهایی مانند اکسیداسیون حرارتی یا کاتالیزوری صورت می‌گیرد. در صورتی که بازسازی ماده جاذب مورد نظر نباشد، باید ماده جاذب آلوده به نحوی مقتضی دفع شود و یا در ساخت مواد دیگر مورد استفاده قرار گیرند که مشکل زیست محیطی نداشته باشد [۹، ۱۰].

خصوصیات فیزیکی از مواردی است که در انتخاب مواد جاذب نقش مهمی دارد. یکی از بزرگ‌ترین این خصوصیات، مساحت سطح است. معمولاً مواد جاذبی که برای تصفیه پساب مورد استفاده قرار می‌گیرند، بسیار متخلخل اند. خاصیت دیگر مساحت سطح که بر جذب سطحی اثر می‌گذارد توزیع اندازه قطر ذرات می‌باشد. مولکول‌های بزرگ‌تر جذب شونده فقط می‌توانند در قطرهای بزرگ‌تر متخلخل جذب گردند.

همان‌طور که قبلاً اشاره شد پساب‌های رنگی نتیجه استفاده مواد رنگزا در صنایع نساجی می‌باشند. حدود ۱۵٪ کل رنگزای تولید شده در صنایع رنگ، از بین می‌رود که این مقدار وارد جریان پساب‌های جاری در محیط‌زیست می‌شود [۱۱]. روش‌های حذف شامل: انعقاد و لخته‌سازی، استفاده از غشاها، جاذب‌ها، روش اکسیداسیون، تصفیه زیستی و غیره

۱- مقدمه

در عصر حاضر به دلیل ویژگی‌های مانند، افزایش نسبت سطح به حجم نانوذرات و در نتیجه افزایش واکنش‌پذیری که در ذرات ریزتر وجود دارد سعی بر کاهش اندازه ذرات می‌باشد. از عوامل تاثیرگذار بر اندازه،

توزیع، ریخت‌شناسی، خلوص در نانوذرات، روش تولید این مواد می‌باشد. بنابراین روش تولید و سنتز این مواد دارای اهمیت ویژه است.

در چند دهه اخیر روش‌های مختلفی برای تولید این ذرات ابداع و توسعه داده شده است. سنتز احتراقی^۱ که به اختصار CS نمایش داده

می‌شود. به عنوان یک روش مهم در تولید سرامیک‌ها-آلیاژها-میان

فلزات و نانومواد مورد توجه است. در CS گرمای حاصل از واکنش شیمیایی اکسایش-کاهش مورد استفاده قرار می‌گیرد [۱]. سنتز

احتراقی محلول یکی از روش‌های معمول در سنتز احتراقی است. این روش عمدها شامل تولید یک محلول آبی حاوی نمک‌های فلز قابل حل

است که در این بین نیترات فلزی و نیترات آمونیم ترجیح داده می‌شوند که آن هم به خاطر اکسیدکننده بودن و قابلیت حل بیشتر

این مواد است. به محلول نیترات فلزی یک سوخت آلی مانند اوره، کربوهیدرایزید، نشاسته و هر سوخت مناسب دیگر اضافه می‌کنند،

وقتی دمای این محلول به ۴۰۰ °C می‌رسد، محلول شروع به جوشیدن کرده و آب موجود در سیستم تبخیر می‌گردد و سپس

محلول آتش می‌گیرد و یک واکنش گرمaza و سریع اتفاق می‌افتد که نتیجه آن یک پودر اکسید ریز-بلوری، ترد-خشک و اسفنجی است

[۲-۴]. یکی دیگر از سنتزهای مهم احتراقی که از نوع احتراق حالت محلول می‌باشد، سنتز احتراقی دمای پایین می‌باشد که در کار مورد مطالعه نیز از آن استفاده خواهد شد. به دلیل این که این فرآیند برپایه

ساخت ژل از نیترات فلزات استوار است به فرآیند سل-ژل احتراقی نیز موسم است و برای تولید اکسیدهای کمپلکسی سرامیکی مانند

آلومینیات‌ها، فریت‌ها و کرومیت‌ها و نانوذرات اکسیدهای فلزی مورد استفاده قرار می‌گیرد [۵]. عوامل مختلفی بر کیفیت محصول تولید شده در این روش مؤثرند که از آن جمله می‌توان به نوع سوخت،

نسبت نیترات نمک‌های فلزی به سوخت آلی، نوع مواد اولیه، pH محلول و دمای کلسینه کردن اشاره کرد.

نانوذرات، به دلیل خواص الکتریکی، مغناطیسی، نوری و مکانیکی منحصر به فردی که دارند دارای کاربرد وسیعی در زمینه‌های مختلف

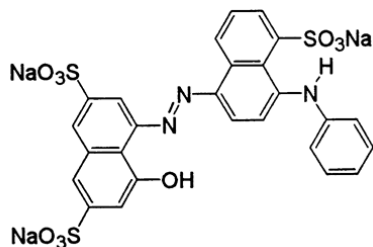
مانند: فیزیک، شیمی، علم مواد، داروسازی و غیره می‌باشند. از کاربردهای دیگر این مواد، می‌توان به استفاده‌شان به عنوان جاذب در

تصفیه پساب‌های رنگی اشاره کرد که تصفیه این پساب‌ها به دلیل دارا بودن مواد رنگزا که شامل مواد سمی و سرطان‌زا می‌باشند از اهمیت

ویژه برخوردارند. برای تصفیه پساب‌ها روش‌های متنوعی وجود دارد که بسته به نوع و میزان آلودگی آن و همچنین مواد مصرف پساب پس از

1- Combustion Synthesis

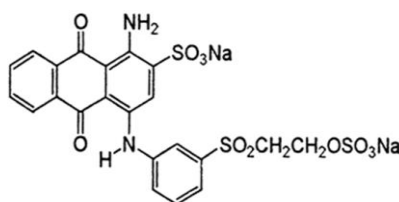
مرک با خلوص ۹۹ درصد)، استات روی دو آبی (محصول مرک با خلوص ۹۸.۵٪)، تری متوكسی سیلیل پروپیل آمین (CH₃O)₃Si-CH₂CH₂CH₂-NH₂) (محصول مرک با خلوص ۹۹.۵٪)، رنگزای اسید آبی ۹۲، رنگزای راکتیو آبی ۱۹، اسید کلریدریک (M) (محصول مرک با خلوص ۹۹٪)، سود (M)، نمک سولفات سدیم (Na₂SO₄) (محصول مرک با خلوص ۹۸٪)، نمک بی کربنات سدیم (Na₂CO₃) (محصول مرک با خلوص ۹۸.۵٪)، نمک بی کربنات سدیم (NaHCO₃) (محصول مرک با خلوص ۹۹.۵٪).



شکل ۱: ساختار شیمیایی اسید آبی ۹۲.

جدول ۱: مشخصات رنگزای اسید آبی ۹۲.

۶۹۵.۵۸ g/mol	وزن مولکولی
C ₂₆ H ₁₆ N ₃ Na ₃ O ₁₀ S ₃	فرمول مولکولی
۵۸۷ Nm	λ_{max}
۱۳۳۹۰	عدد کالارایندکس



شکل ۲: ساختار شیمیایی راکتیو آبی ۱۹.

جدول ۲: مشخصات رنگزای راکتیو آبی ۱۹.

۶۰۴.۴۷g/mol	وزن مولکولی
C ₂₂ H ₁₆ N ₂ Na ₂ S ₃	فرمول مولکولی
۵۹۲nm	λ_{max}
۲۵۸۰-۷۸-۱	عدد کالارایندکس

۲-۲-روش کار

روش کار شامل دو بخش، سنتر نانوذرات و اصلاح سطح می‌باشد ابتدا برای تهیه پودرهای نانوذرات مخلوط اکسیدهای فلزی لانتان روی

می‌باشد. در این کار تحقیقاتی دو رنگزای اسید آبی ۹۲، راکتیو آبی ۱۹ که جزء رنگزاهای آزو و راکتیو می‌باشند به وسیله روش جذب سطحی (استفاده از جاذبهای معدنی) رنگبری شده‌اند.

۱-۹۲ رنگزای اسید آبی

رنگزای AB ۹۲ از جمله رنگزاهای آنیونی و آلی است که دارای یک پیوند آزوی (-N=N-) می‌باشد که مصرف زیادی در صنایع رنگرزی دارد. روش‌های متعددی برای حذف این رنگزا انجام گرفته است که از جمله می‌توان به استفاده از کربن فعال [۱۲]، انقاد و لخته‌سازی با استفاده از کیتوسان [۱۳]، جذب پیوسته بستر ثابت (با استفاده از گرافیت) [۱۴]، اکسیداسیون پیشرفتی مبتنی بر ازن [۱۵] و غیره اشاره کرد. در این پژوهش نیز این رنگزا با استفاده از جذب سطحی روی نانوذرات LaZnAlO₄ اصلاح شده رنگبری شده است.

۲-۱۹ رنگزای راکتیو آبی

رنگزای راکتیو آبی ۱۹ دارای ساختار آنتراکینونی و یک گروه فعال و بنیل سولفون می‌باشد. این رنگزا دارای ثبات بسیار خوبی در کالاهای سلولزی دارد برای حذف این رنگزا نیز روش‌های گوناگونی مانند تخریب با روش انقاد و لخته‌سازی [۱۶] با استفاده از جذب سطحی توسط ذرات اکسید منیزیم [۱۷]. استفاده از ازن [۱۸] و غیره انجام گرفته است در پژوهش حاضر رنگبری این رنگزا با جذب سطحی بررسی شده است.

از عده دلایل استفاده و تهیه این نانوذره، سهولت تهیه و فراوانی مواد اولیه می‌باشد. اساس این روش، واکنش اکسایش-کاهشی است که بین یک اکسیدکننده و سوخت اتفاق می‌افتد. عموماً اکسیدکننده به کارگرفته آنیون‌های نیترات و سوخت مصرفی یک مولکول آلی می‌باشد که واکنش را مشتعل می‌کند. در این پژوهش، نانوذرات جدید LaZnAlO₄، با استفاده از روش سنتر احتراقی در دمای پایین که یک سنتر سبز محسوب شده، تهیه خواهد شد و به عنوان یک جاذب معدنی در رنگبری دو رنگزا، راکتیو آبی ۱۹ و اسید آبی ۹۲ استفاده خواهد شد. برای سنتر نانوذرات جاذب، نمک‌های نیترات فلزات آلومینیم، روی و لانتانیم به کار خواهد رفت که هم به عنوان اکسید کننده عمل خواهد نمود و هم منابع کاتیون‌های فلزی، Al⁺³, Zn⁺², La⁺³ می‌باشند.

۲-بخش تجربی

۲-۱-مواد

نشاسته (محصول مرک با خلوص ۹۹٪)، نیترات لانتانیم شش آبه (محصول مرک با خلوص ۹۸٪)، نیترات آلومینیم نه آبه (محصول

1- Acid Blue 92

2- Reactiv Blue 19

تهییه محلول رنگی

برای تهییه محلول رنگی، بسته به غلظت مورد نیاز رنگزای مورد نظر را در ۲۵۰ میلی لیتر آب مقطر حل می کنیم. سپس pH محلول را با استفاده از (۰,۱ M) HCl به ۲,۵ می رسانیم. (در این آزمایش محلول ۱۰۰ ppm محلول پایه می باشد). وسیله اثر عواملی مانند مقدار جاذب، pH، غلظت رنگزا و نمکهای مختلف را بررسی کردیم. نکته: در طی انجام آزمایشات در بازه زمانی مشخصی از محلول نمونه برداری می شود. محلول به مدت یک ساعت هم زده می شود، تمام نمونه ها سانتریفیوژ می شوند و همچنین غلظت رنگزا در محلول توسط طیف سنج UV-Vis تعیین می گردد. میزان جذب محلول قبل و بعد از افزودن جاذب و گذشت زمان مورد نیاز برای رسیدن به تعال با در نظر گرفتن کلیه شرایط، اندازه گیری و بازده حذف مواد رنگزا با استفاده از رابطه ۱ محاسبه شد (A_0 جذب محلول در زمان صفر و A_t جذب محلول پس از گذشت زمان t دقیقه).

$$R(\%) = [(A_0 - A_t) / A_0] * 100 \quad (1)$$

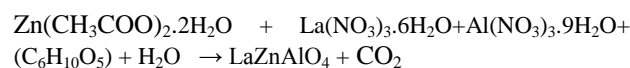
۳- نتایج و بحث

۳-۱- شناسایی نانوذرات با روش های

XRD, SEM, EDAX, FT-IR

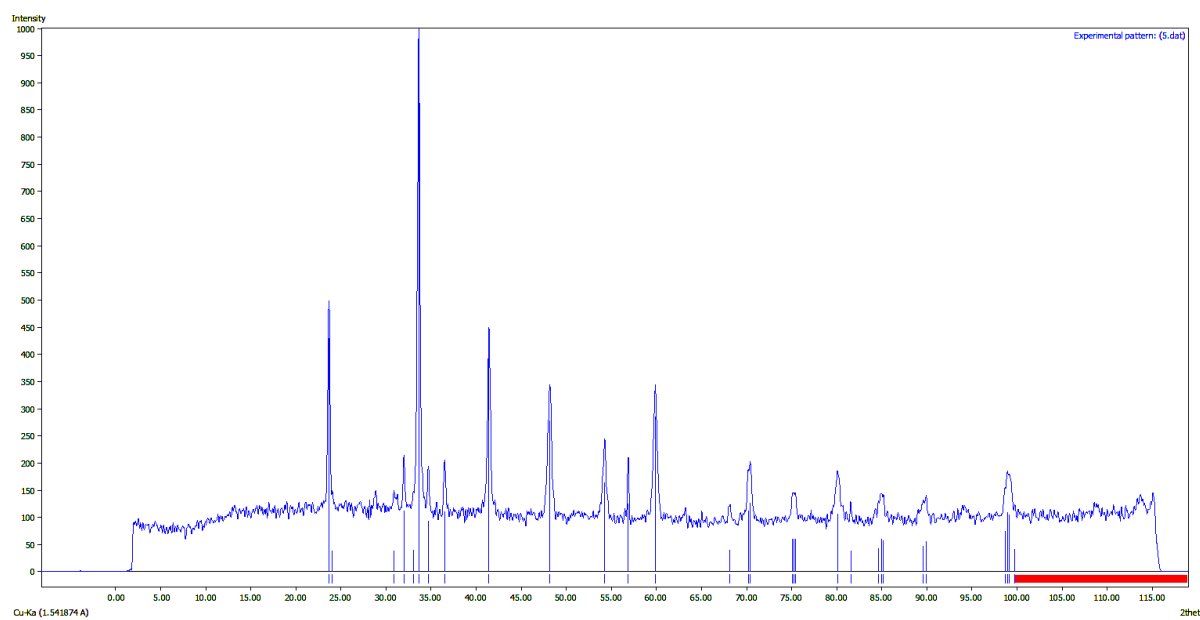
شکل های ۳ و ۴ مربوط به الگوهای XRD گرفته شده از نانوذرات LaZnAlO_4 می باشند.

آلومینات بر طبق استوکیومتری واکنش و نسبت مولی مورد نظر، نمکهای فلزی مورد نیاز ($\text{La}^{+3}, \text{Al}^{+3}, \text{Zn}^{+2}$) با هم مخلوط گردیدند و در آب مقطر حل شدند. در مرحله بعد سوت به محلول اضافه گردید. محلول نهایی را ابتدا به مدت ۱ ساعت با دمای 60°C و سپس با دمای 80°C به مدت ۳ ساعت به طور یکنواخت هم زده شد. در نهایت یک ژل سفید رنگ شفاف حاصل گردید. ژل به دست آمده در کوره الکتریکی با دمای 800°C قرار داده شد. در داخل کوره ژل موردنظر مشتعل گردید و پدیده خود اشتعالی رخ داد در پایان پودر سفید رنگی به دست آمد. معادله این واکنش عبارت است از:

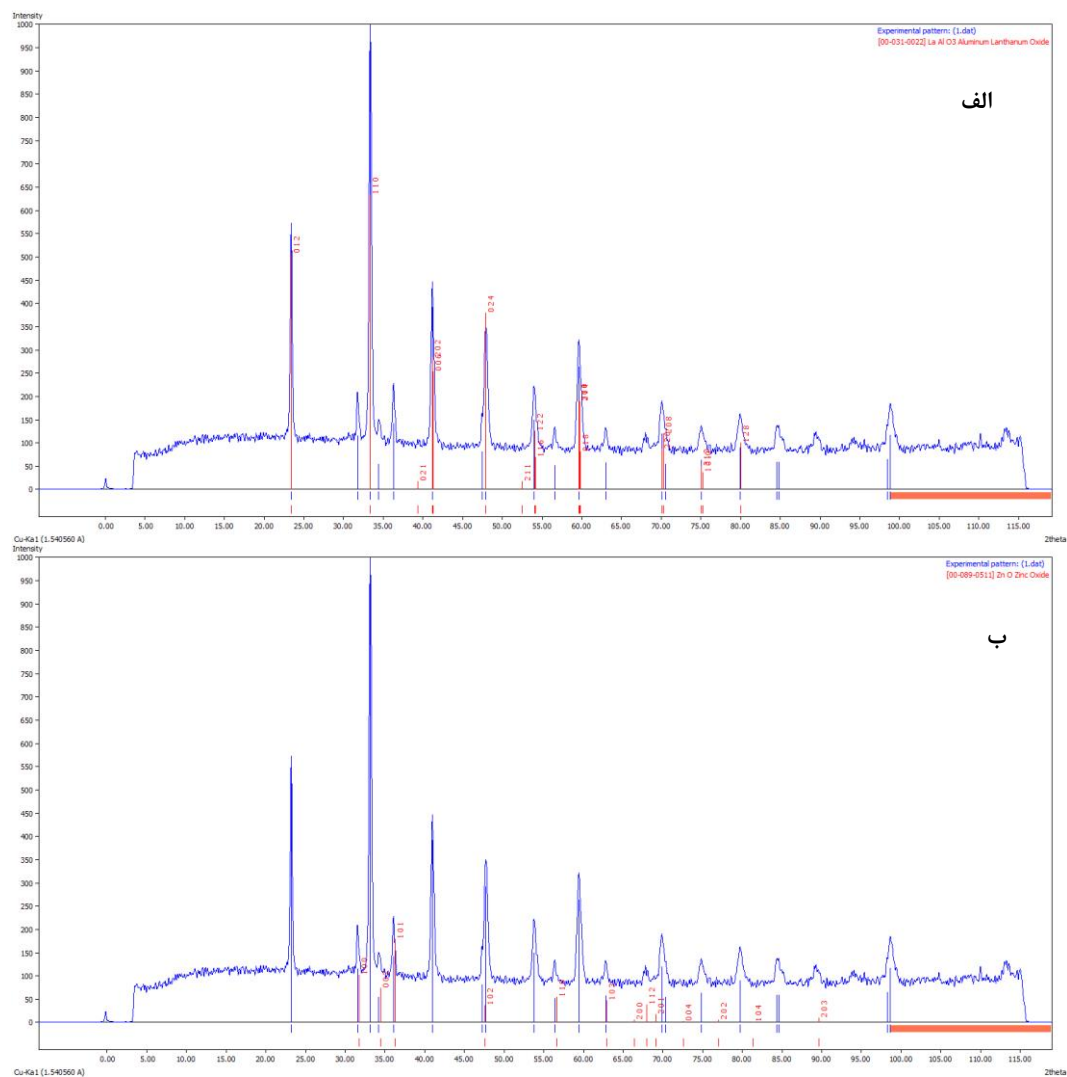


الگوی XRD این ذرات جدید در شکل ۳ آورده شده است.

در اصلاح سطح این ذرات به روش زیر عمل کردیم. ابتدا نانوذرات موردنظر را در اتانول حل کرده و به محلول تری متوكسی سیلیل پروپیل آمین اضافه می کنیم و محلول را به مدت ۳ ساعت روی هم زن قرار می دهیم. سپس محلول را چندین بار با آب مقطر شستشو داده و آن را در آون در دمای 80°C قرار می دهیم تا خشک شود. پودرهای به دست آمده را می توان به عنوان جاذب برای حذف رنگزا استفاده کرد. در این مرحله از آزمایش پس از تهییه محلول رنگی هر کدام از عوامل تاثیرگذار بر جذب سطحی را به تنهایی مورد بررسی قرار دادیم. سپس سعی کردیم با تغییر دادن یک عامل و ثابت نگه داشتن بقیه عوامل، مقدار بهینه را مشخص کنیم.



شکل ۳: الگوی XRD نانوذرات LaZnAlO_4 .



شکل ۴: (الف): الگوی XRD نانوذرات LaZnAlO_4 مقایسه شده با الگوی LaAlO_3 ترکیب XRD (ب): الگوی XRD نانوذرات LaZnAlO_4 مقایسه شده با الگوی ZnO ترکیب XRD

d : اندازه ذرات، $B=0.9$ (مربوط به دستگاه XRD)، λ : طول موج بر حسب نانومتر، β : با استفاده از FWHM (پهنای باند در نصف ارتفاع) محاسبه می گردد ، که بر حسب رادیان است. θ : زاویه تفرق با توجه به این محاسبات اندازه نانوذرات برای سه سوخت ۲۵-۱۵ نانومتر به دست آمد.

برای شناسایی بیشتر این ذرات تصاویر میکروسکوپ روبشی الکترونی نانوذرات LaZnAlO_4 سنتز شده با سوخت های نشاسته و گلیسیرین در pH=۷ در شکل های ۵ (الف)-(ج) آورده شده اند. همان طور که در شکل ۵ (الف) و (ب) نیز دیده می شود ذرات با نشاسته ساختار بسیار منظمی داشته و دارای ساختاری شبیه پازل هستند در گلیسیرین ذرات شدیدا بهم چسبیده اند و ساختاری سوزنبی شکل دارند. همچنین ذرات حاصل از نشاسته ریزتر از گلیسیرین می باشند.

همان طور که در شکل ۴ (الف) دیده می شود تعدادی از پیک ها بر پیک های مرربوط به ترکیب LaAlO_3 با کارت استاندارد JCPDS به شماره [۰۰-۰۳۱۰۰-۲۲] منطبق می شوند و این موضوع بیانگر حضور لاتنان و آلمینیم در شبکه بلوری می باشد. واضح است که عدم انتظامی کامل به دلیل متفاوت بودن نوع ترکیبات LaAlO_3 و LaZnAlO_4 می باشد. در شکل ۴ (ب)، مشاهده می شود که برخی از پیک های مرربوط به ترکیب ZnO با کارت استاندارد JCPDS به شماره [۰۰-۰۸۹-۰۵۱۱] منطبق می شوند که نشانگر وجود روی در ساختار ترکیب سنتز شده (LaZnAlO_4) می باشد.

همچنین با استفاده از رابطه دبای- شرر و با توجه به اطلاعات FWHM و زوایای ۲۰ طیف XRD مرربوطه، اندازه نانوذرات به صورت محاسباتی و تئوری مشخص شده است :

$$\text{رابطه دبای- شر} \quad d = (B \times \lambda) / (\beta \times \cos\theta)$$

می باشد. و پنج پیک دیگر در 450 , 555 , 673 , 1630 و 2350 cm^{-1} دیده می شود که می تواند مربوط به ارتعاشات خمشی و کششی پیوندهای اکسیژن - فلز موجود در ساختار ترکیب باشد.

با استفاده از آزمون EDAX می توان تجزیه عنصری انجام داد و به این طریق می توان ماهیت عناصر موجود در یک ترکیب ناشناخته را مشخص کرد. چنانچه از شکل ۷ و جدول ۳ مشخص می باشد حضور فلزات Zn و La، Al و هم چنین O در ترکیب ماده حاضر تایید شده است.

جدول ۳: نتیجه آزمون EDAX مربوط به نانوذرات LaZnAlO_4

عنصر	سری	عدد اتمی	درصد جرمی	درصد اتمی
La	L-Seri	57	51,24	16,59
Zn	K-Seri	30	19,02	13,08
O	K-Seri	8	18,11	50,92
Al	K-Seri	13	11,64	19,41
جمع کل		100	100	100

۲-۳ بررسی نانوذرات معدنی LaZnAlO_4 خام و اصلاح سطح شده

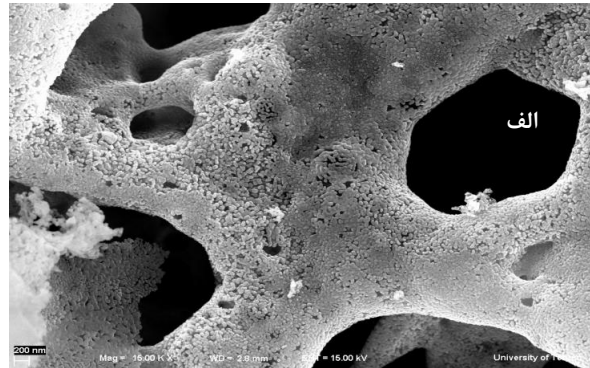
شکل های ۸ و ۹ به ترتیب طیف FT-IR نانوذرات LaZnAlO_4 خام و اصلاح شده را نشان می دهد. پیک پهن موجود در $3429,58\text{ cm}^{-1}$ مربوط به پیوندهای O-H و N-H می باشد که در نتیجه اصلاح سطح انجام گرفته حاصل شده اند.

۳-۳ نتایج بخش رنگبری

۱-۳-۲-۱ تاثیر متغیرهای فرآیند بر میزان حذف رنگ زاها بازده رنگبری در یک سیستم به متغیرهای گوناگونی از جمله مقدار جاذب، غلظت اولیه رنگ زا، pH و نمک استفاده شده بستگی دارد.

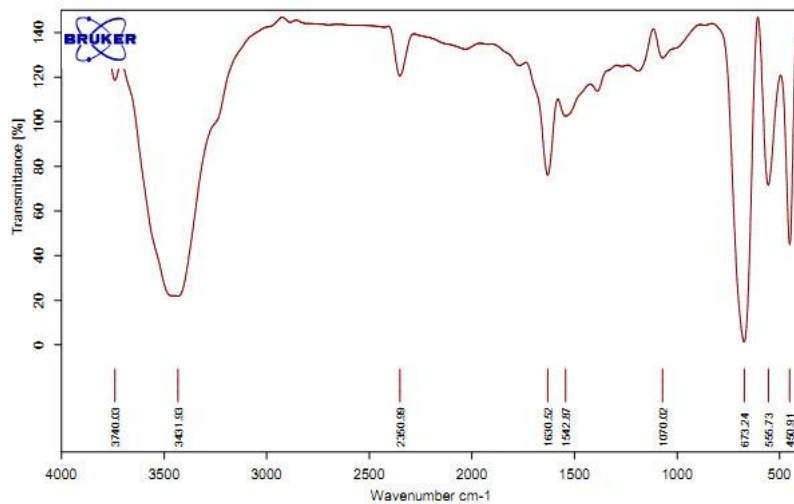
۳-۱-۳ تاثیر مقدار جاذب

نمودار درصد حذف رنگ زا توسط جاذب خام و اصلاح شده در مقابل زمان در مقادیر مختلف جاذب در شکل های ۱۰ و ۱۱ رسم شده است. نتایج حاصله نشان می دهد که با افزایش مقدار رنگ زا میزان حذف نیز افزایش می یابد. که علت آنرا می توان افزایش سطح جاذب وجود مکان های جذبی بیشتر دانست. نتیجه دیگر این بررسی نشان می دهد که میزان حذف رنگ زا با نانوذره اصلاح شده نسبت به نانوذره خام بسیار قابل توجه است. که علت اصلی آن را می توان به فراوانی محل های جذبی در سطح جاذب اصلاح شده دانست.

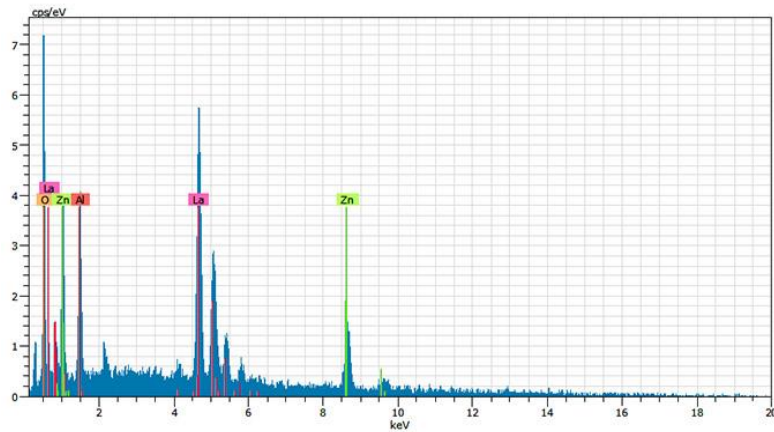


شکل ۵: (الف): تصویر SEM نانوذرات LaZnAlO_4 سنتز شده با سوخت نشاسته در $7\text{ pH}=7$ (۱۵kV)، (ب): تصویر SEM نانوذرات LaZnAlO_4 سنتز شده با سوخت نشاسته در $20\text{ kV pH}=7$ (۲۰kV)، (ج): تصویر SEM نانوذرات LaZnAlO_4 سنتز شده با سوخت گلیسرین در $20\text{ kV pH}=7$.

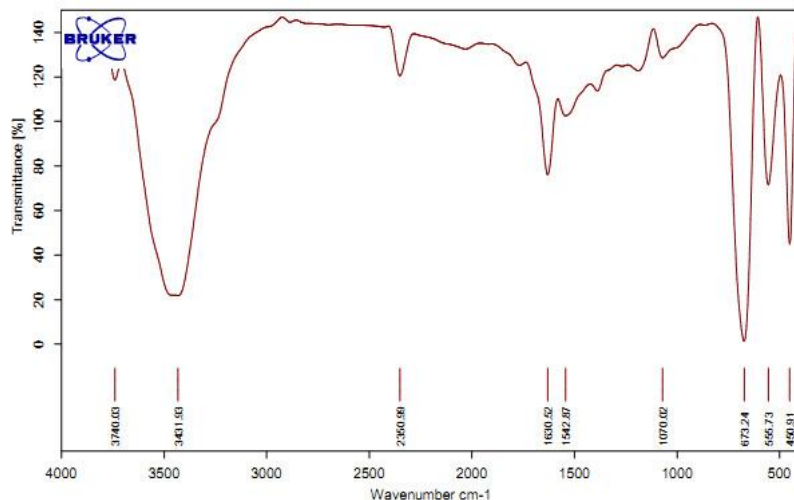
طیف FT-IR بیشتر برای شناسایی مولکول ها و ترکیبات آلی به کار می رود. و قادر به شناسایی گروه های عاملی مثل گروه هیدروکسیل، گروه آمینی می باشد و شناسایی ترکیبات فلزی با این روش، کار سختی می باشد. در این پژوهش، ماده تولید شده اکسید مخلوط فلزی می باشد به همین دلیل پیک مشخصه در طیف این ماده دیده نمی شود (شکل ۶). یک پیک پهن در 3431 cm^{-1} دیده می شود که احتمالاً مربوط به گروه عاملی هیدروکسیل آب موجود در قرص KBR



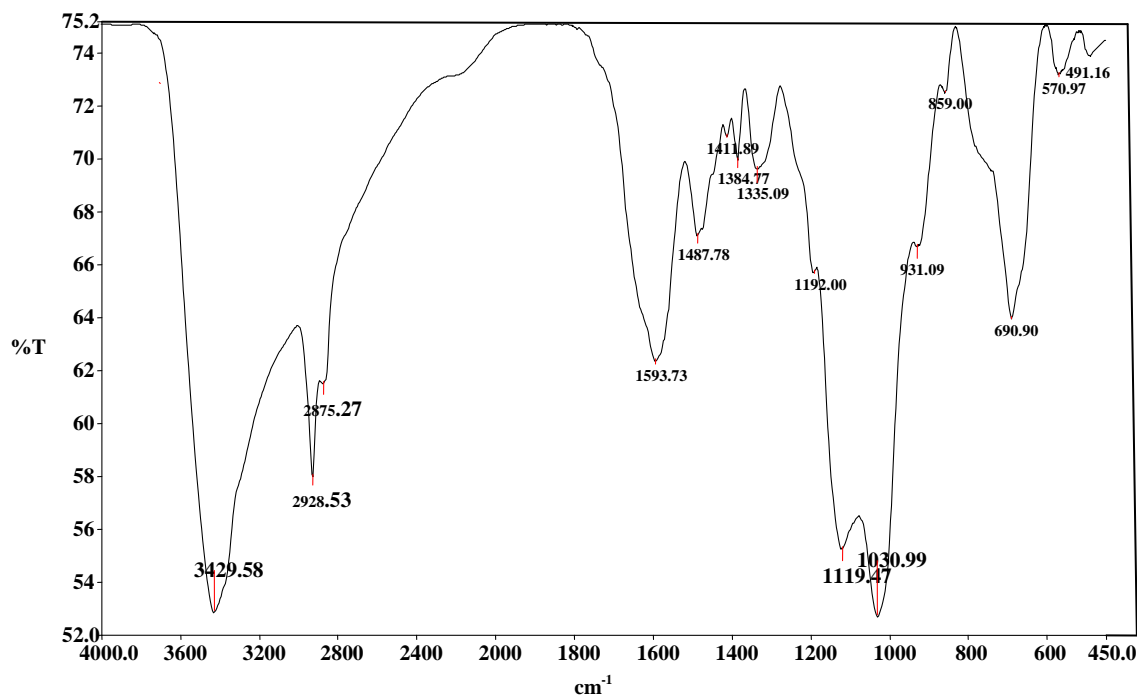
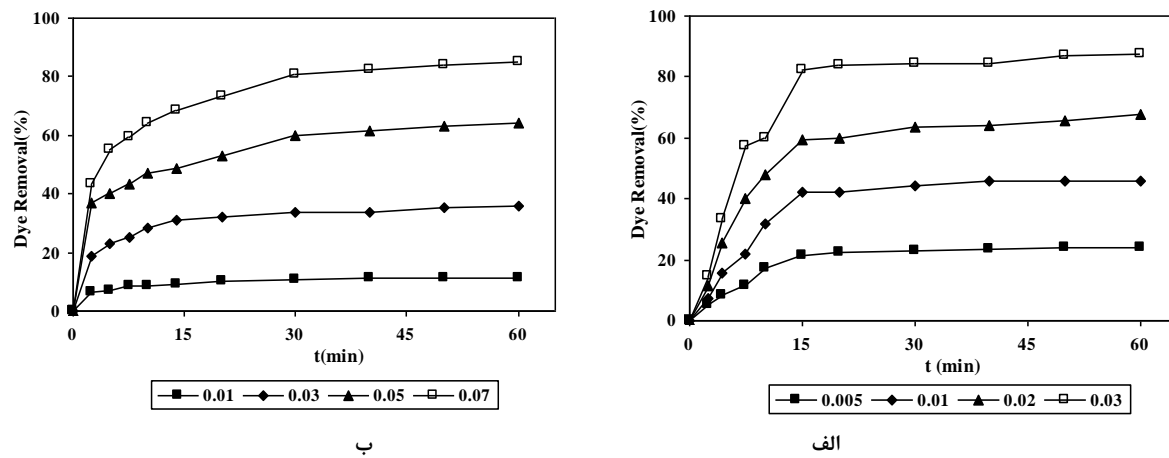
شکل ۶: طیف FT-IR نانوذرات LaZnAlO_4 .



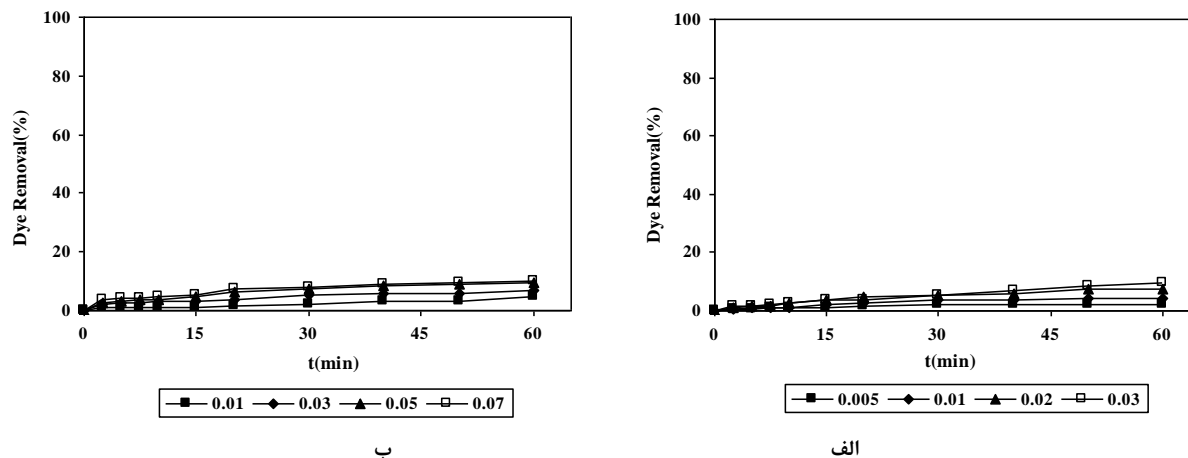
شکل ۷: آنالیز EDAX مربوط به نانوذرات LaZnAlO_4 .



شکل ۸: طیف FT-IR نانوذرات معدنی LaZnAlO_4 خام.

شکل ۹: طیف FT-IR نانوذرت LaZnAlO_4 اصلاح سطح شده.

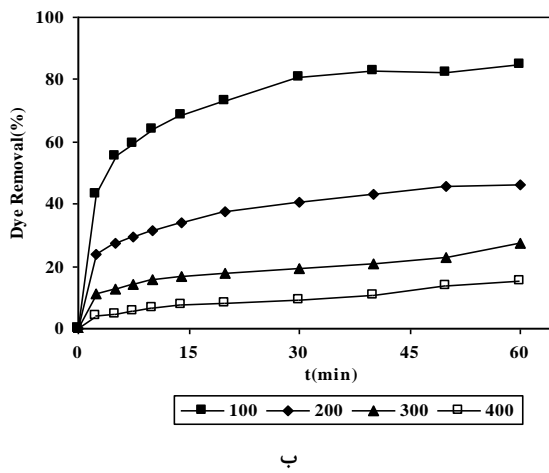
شکل ۱۰: تاثیر مقدار مختلف مخاتل جاذب بر میزان رنگبری رنگرها با استفاده از نانوذرات اصلاح شده با رنگرای AB 92 (الف)، رنگرای RB 19 (ب).



شکل ۱۱: تاثیر مقدار مختلف مخاتل جاذب بر میزان رنگبری رنگرها با استفاده از نانوذرات خام با رنگرای AB 92 (الف)، رنگرای RB 19 (ب).

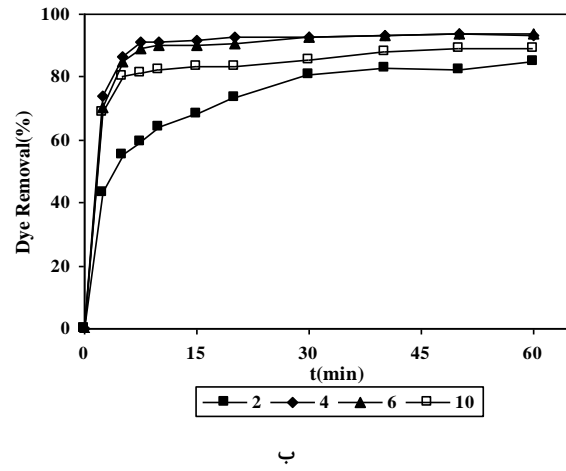
مقدار pH نقش مهمی را در بازده رنگبری ایفا می‌کند. در رنگرهای آنیونی با افزایش pH محلول، ظرفیت جذبی کاهش می‌یابد. اگر محلول حاوی رنگزا را بازی کنیم به دلیل یونیزاسیون گروههای عاملی، سطح جاذب منفی می‌شود و یک دافعه الکتروستاتیکی بین سطح باردار منفی جاذب و مولکول‌های رنگزای آنیونی با بار منفی به وجود خواهد آمد. بر عکس اگر pH محلول اسیدی باشد به دلیل مکان‌های با بارمثبت و جاذبه الکتروستاتیکی بین این مکان‌ها و رنگزای آنیونی میزان جذب افزایش می‌یابد. در این تحقیق، مقدار بهینه pH برابر ۲,۵ در نظر گرفته شد.

۴-۱-۳-۳- تاثیر نمک‌های مختلف بر میزان حذف رنگزا
در شکل ۱۴ نمودارهای تاثیر سه نمک NaHCO_3 , Na_2CO_3 , Na_2SO_4 بررسی شده است نتایج نشان می‌دهد که نمک Na_2CO_3 تاثیری در رنگبری رنگزا ندارد اما دو نمک دیگر میزان حذف را افزایش داده‌اند.



ب

شکل ۱۴: تاثیر غلظت رنگزا بر میزان رنگبری رنگزا با استفاده از نانوذرات اصلاح شده با رنگزای ۹۲ AB (الف)، رنگزای ۱۹ RB (ب).

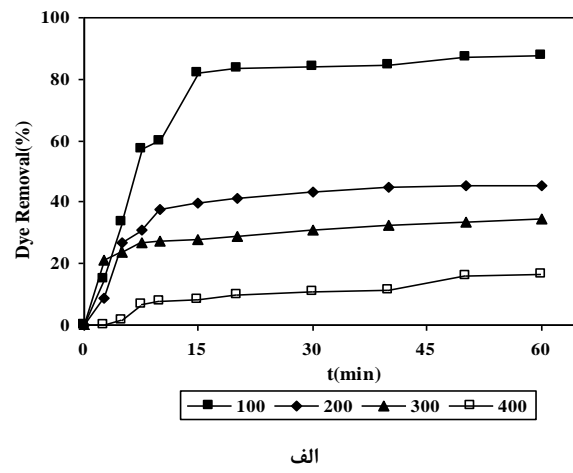


ب

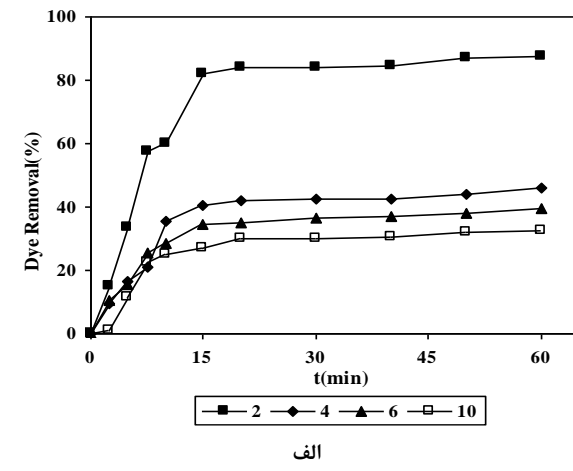
شکل ۱۴: تاثیر pH بر میزان رنگبری رنگزاها با استفاده از نانو مواد اصلاح سطح شده با رنگزای ۹۲ AB (الف)، رنگزای ۱۹ RB (ب).

۳-۱-۲- تاثیر غلظت اولیه رنگزا
تاثیر غلظت اولیه رنگزا بر میزان حذف رنگ در غلظت‌های مختلف رنگزا بررسی شد (شکل ۱۲). نتایج حاصل نشان داد که با افزایش غلظت رنگزا مقدار درصد حذف کاهش می‌یابد. اگر غلظت‌های اولیه رنگزا را افزایش دهیم اما مقدار جاذب ثابت بماند، مقدار رنگزای جذب شده روی جاذب بیشتر می‌شود. در واقع، غلظت باقی‌مانده مولکول‌های رنگزا در غلظت‌های اولیه بالاتر، بیشتر است. در غلظت‌های اولیه پایین‌تر، نسبت تعداد اولیه مول‌های رنگزا به مکان‌های در دسترس جذب کمتر و در غلظت‌های اولیه بالاتر، تعداد مکان‌های در دسترس جذب کمتر و در نتیجه میزان حذف رنگزا به غلظت اولیه بستگی دارد.

۳-۱-۳- تاثیر مقدار pH
تاثیر pH در میزان رنگبری رنگزاها در شکل ۱۳ نشان داده شده است.

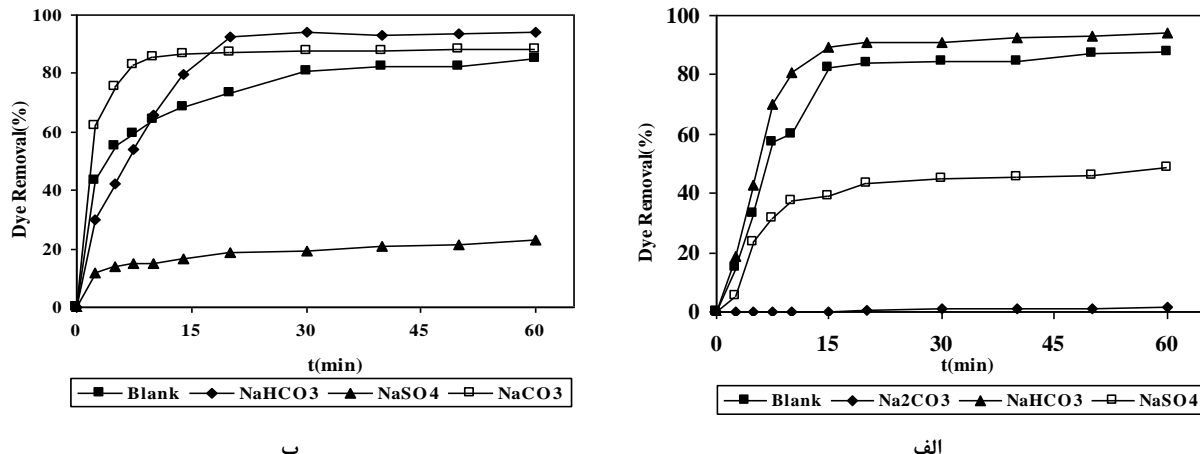


الف



الف

شکل ۱۵: تاثیر pH بر میزان رنگبری رنگزاها با استفاده از نانو مواد اصلاح سطح شده با رنگزای ۹۲ AB (الف)، رنگزای ۱۹ RB (ب).



شکل ۱۴: تاثیر نمک‌های مختلف بر درصد حذف رنگ با استفاده از نانو مواد اصلاح سطح شده با رنگ‌رای AB 92 (الف)، رنگ‌رای RB 19 (ب).

جدول ۳: بررسی ایزوترم‌های جذب.

تمپکین			فرندلیش				لانگمویر		
R ²	B _T	A _T	R ²	I/n	K _F	R ²	K _L	Q ₀	
RB19									
0,914	20,05	220113	0,924	0,0626	254,33	0,998	0,315	344,82	جاذب
0,887	367,2	1,119	0,869	0,258	387,307	1	0,104	1428,57	
AB92									

که q_e مقدار رنگ جذب شده روی جاذب مورد درحال تعادل، C_e غلظت تعادلی محلول رنگی، K_f ثابت لانگمویر و Q_0 ظرفیت جذب می‌باشد.

شكل خطی معادله لانگمویر به صورت رابطه ۳ می‌باشد.

$$C_e/q_e = 1/(KLQ_0) + C_e/Q_0 \quad (3)$$

ایزوترم فرونالدیش

در این ایزوترم فرض شده است که یک سطح ناهمگن با توزیع یکنواختی از گرمایی جذب در روی سطح به دست می‌آید و می‌توان آن را توسط رابطه ۴ بیان نمود.

$$q_e = K_f C_e^{1/n} \quad (4)$$

در این رابطه K_f ظرفیت جذب در غلظت واحد و $1/n$ شدت جذب سطحی می‌باشد. n بیانگر نوع ایزوترم است که اگر $1/n=0$ باشد برگشت‌ناپذیر، $<1/n>$ مطلوب و $>1/n$ نامطلوب است. رابطه ۴ را می‌توان به فرم خطی (رابطه ۵) نوشت.

$$\log q_e = \log K_f + (1/n) \log C_e \quad (5)$$

۴-۳- بررسی ایزوترم‌های جذب

ایزوترم‌هایی که در این پروژه مورد مطالعه قرار گرفته‌اند شامل ایزوترم لانگمویر، فرونالدیش و تمپکین می‌باشند. این ایزوترم‌ها در مقدادر مختلف مقدار جاذب در جدول ۳ آمده است.

ایزوترم‌های متعددی برای تجزیه و تحلیل فرآیند جذب سطحی ارائه شده است که مهم‌ترین آنها شامل لانگمویر، فرونالدیش، فرامکین، ردیلیش-پیترسون می‌باشد. این مدل‌ها می‌توانند دیدگاهی درباره سازوکار جذب، تمایل جاذب و غیره فراهم کنند [۱۹]. دو رابطه مهم و اساسی که کاربرد گسترده در توصیف ایزوترم‌های جذبی در سیستم‌های جامد/مایع دارند و در این پژوهه نیز مورد بحث و بررسی قرار گرفته‌اند رابطه‌های لانگمویر، فرونالدیش و تمپکین می‌باشند.

ایزوترم لانگمویر:

فرض اساسی ایزوترم لانگمویر این است که جذب سطحی در مکان‌های ویژه در داخل اتفاق می‌افتد رابطه لانگمویر را به شکل رابطه ۲ می‌توان نوشت.

$$q_e = Q_0 K_L C_e / (1 + K_L C_e) \quad (2)$$

به دست آیند.

سینتیک شبه مرتبه اول

با استفاده از این مدل سینتیکی می‌توان سازوکار جذب را بررسی کرد. همچنین ثابت‌های جذب سطحی را با استفاده از رابطه سینتیک مرتبه اول که بر مبنای ظرفیت جامد می‌باشد تعیین کرد. فرم خطی این سینتیک به شکل رابطه ۸ می‌باشد.

$$\log(q_e - q_t) = \log q_e - k_1 t / 2.303 \quad (8)$$

که q_e مقدار رنگزای جذب شده در حالت تعادل (mg/g)، q_t مقدار رنگزای جذب شده در زمان t (mg/g) و k_1 ثابت تعادلی سرعت سینتیکی مرتبه اول (1/min) است.

سینتیک شبه مرتبه دوم

این سینتیک به طور کلی نشان می‌دهد که جذب شیمیایی مرحله کندکننده سرعت و کنترل کننده فرآیندهای جذب سطحی است. سینتیک اکثر سیستم‌های جذب سطحی، در غلط‌های مختلف رنگزا با این سیستم هم خوانی دارند. شکل خطی سینتیک مرتبه دوم برای جذب رنگزاها می‌تواند به شکل رابطه ۹ بیان شود.

$$t/q_t = 1/(k_2 q_e^2) + t/q_e \quad (9)$$

در این رابطه، q_e مقدار رنگزای جذب شده در حالت تعادل (mg/g) و k_2 ثابت سرعت تعادلی معادله سینتیک مرتبه دوم است. نمودارهای سینتیکی رنگزاها بر روی جاذب اصلاح شده و نشده نیز از شکل ۱۵ و ۱۶ نشان داده شده است. سینتیک‌های جذبی مرتبه اول، مرتبه دوم، مورد بررسی واقع شدند. و مقادیر مربوطه در جدول ۴ آورده شده است. چنانچه در جدول ۴ نیز مشاهده می‌شود سینتیک مورد تایید این سیستم سینتیک مرتبه دوم می‌باشد.

ایزوترم تمپکین

ایزوترم تمپکین بیان می‌کند که گرمای جذب سطحی همه مولکول‌ها روی سطح جاذب به دلیل اثرات متقابل جذب شونده- جذب شونده به طور خطی با مقدار پوشیده شدن سطح کاهش می‌یابد. به همین دلیل این ایزوترم روشی برای ارزیابی پتانسیل جذب سطحی می‌باشد که نشان می‌دهد گرمای جذب خطی است. رابطه ایزوترم تمپکین به صورت رابطه ۶ بیان می‌شود.

$$q_e = (RT/b) \ln(A_T C_e) \quad (6)$$

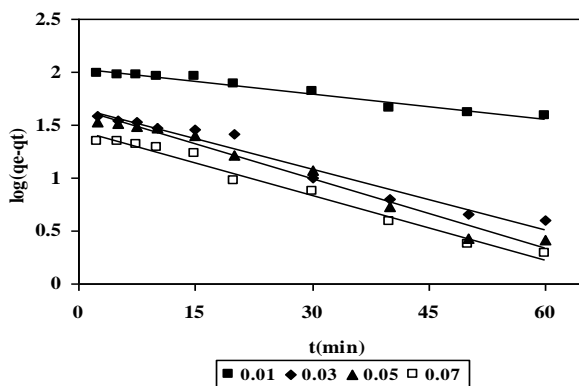
ایزوترم تمپکین را می‌توان به فرم خطی نوشت (رابطه ۷).

$$q_e = B_T \ln A_T + B_T \ln C_e \quad (7)$$

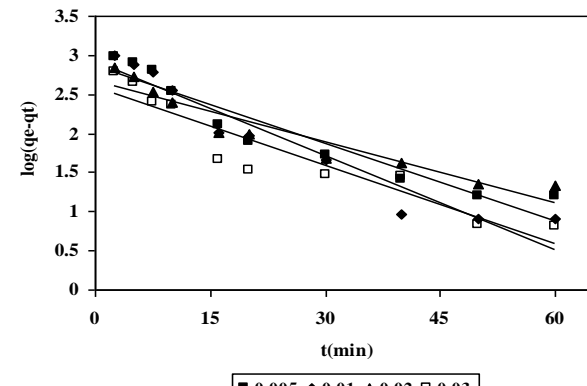
در این رابطه $B_T = (RT/b)$ و $A_T = (L/g)$ ثابت‌های تمپکین هستند. همچنین T دمای مطلق بر جسب کلوین و R ثابت عمومی گاز ۸,۳۱۴ J/mol هستند. ثابت b به گرمای جذب سطحی واکسته است [۲۰]. طبق نتایج حاصل شده از جدول بالا و ضرایب به دست آمده این سیستم از ایزوترم لانگمویر تبعیت می‌کند.

۳-۵-۳- بررسی سینتیک جذب رنگزا بر روی جاذب اصلاح سطح شده

بررسی سینتیک واکنش برای به دست آوردن اطلاعاتی در مورد عوامل موثر بر سرعت واکنش ضروری است. دو مدل سینتیکی رایج که در این تحقیق نیز بحث شده‌اند عبارتند از: سینتیک شبه مرتبه اول، شبه مرتبه دوم [۲۱]. استفاده از این مدل‌های سینتیکی برای تعیین سازوکار کنترل فرآیندهای جذب سطحی مانند جذب در سطح واکنش شیمیایی و یا حتی سازوکارهای نفوذ استفاده می‌شوند. ضرایب مدل‌های سینتیکی می‌توانند توسط روش‌های خطی‌سازی مناسبی

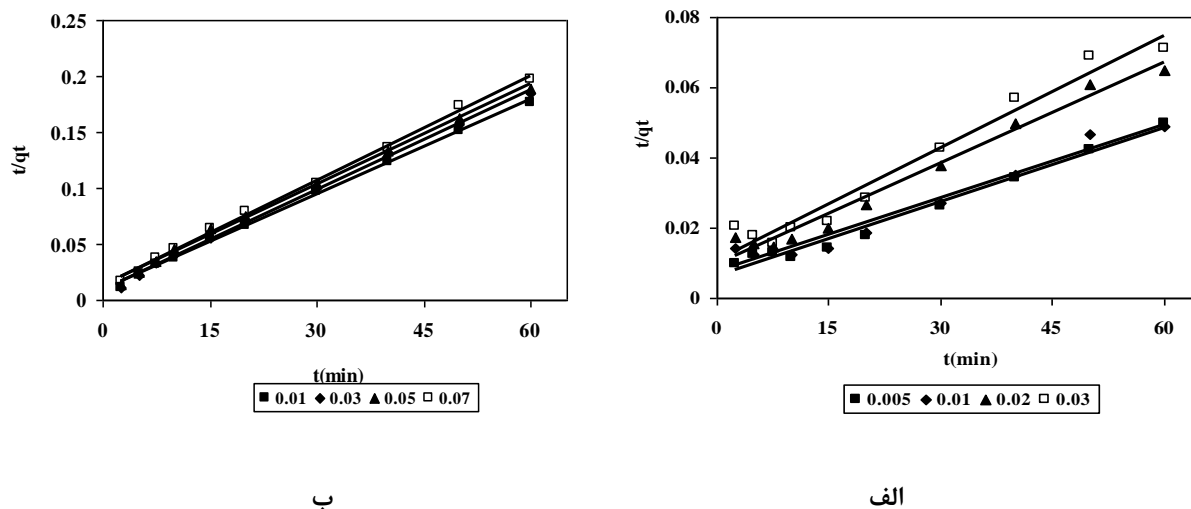


ب



الف

شکل ۱۵: نمودار سینتیکی مرتبه اول مربوط به نانوذرات اصلاح شده با رنگزای AB ۹۲ (الف)، رنگزای RB ۱۹ (ب).



شکل ۱۶: نمودار سینتیک شبه مرتبه دوم نانوذرات اصلاح شده با رنگرای AB ۹۲ (الف)، رنگرا ۱۹ (ب).

جدول ۴: بررسی سینتیک جذب.

سینتیک شبه مرتبه دوم				سینتیک شبه مرتبه اول				مقدار جاذب (g)
R ²	k ₂	(q _e) _{Cal.}	R ²	k ₁	(q _e) _{Cal.}	(q _e) _{Exp.}	(g)	
RB 19								
0,997	0,0008	357,14	0,985	0,05	138,48	341,40	0,01	
0,998	0,0009	333,33	0,975	0,057	136,13	323,97	0,003	
0,996	0,0007	333,33	0,993	0,056	162,03	316,63	0,05	
0	0,0028	322,58	0,966	0,061	157	303,25	0,07	
AB 92								
0,10 × 7	0,10 × 7,5	909,09	0,938	0,088	891,86	1202,2	0,005	
0,10 × 6	0,10 × 6,1	1000	0,962	0,107	1048,5	1152,1	0,01	
0,001	0,001	1428,57	0,917	0,069	544,75	846,43	0,02	
0,10 × 1	0,10 × 1,2	1428,57	0,865	0,086	456,03	733,95	0,03	

شده با مقدار بهینه جاذب برای رنگرای اسیدی آبی ۹۲ g، ۰,۰۳ g و برای رنگرای راکتیو آبی ۱۹ g، ۰,۰۷ g در pH ۰,۰۷ و در ۱۰۰ ppm اولیه رنگرا، مشخص شد که در رنگرای دو رنگرا، سیستم از ایزووترم‌های لانگمیر و همچنین سینتیک شبه مرتبه دوم پیروی می‌کنند. درصد رنگرای این جاذب برای هر دو رنگرا در حدود ۹۰-۹۸ درصد می‌باشد. همچنین ظرفیت جذب برای رنگرای اسیدی آبی ۹۲ g، ۰,۰۳ g و برای راکتیو آبی ۱۹ g، ۰,۰۷ g می‌باشد.

۴- نتیجه‌گیری

نانوذرات LaZnAlO₄ با استفاده از روش سنتز احتراقی در دمای پایین سنتز شده و تأثیر دو سوخت نشاسته و گلیسرین در سنتز آنها مورد بررسی قرار گرفت. نشاسته به دلیل فراوانی، عدم ایجاد آلودگی زیستمحیطی و تولید ذراتی با اندازه کوچک‌تر به عنوان سوخت بهتر تعیین گردید. اندازه نانوذرات با نشاسته در حدود ۱۵ نانومتر و با گلیسرین در حدود ۲۵ نانومتر به دست آمدند. طبق آزمایشات انجام

۵- مراجع

1. S. T. Aruna, A. S. Mukasyan, Combustion synthesis and nanomaterials. *Curr Opin Solid Stm*, 12 (2008), 44–50.
2. J. McKittricka, L. E Sheab, C. F. Bacalskia, E. J Boszea, The influence of processing parameters on luminescent oxides produced by combustion synthesis. *Displays*. 19(1999), 169–172.
3. S. Biamino, C. Badini, Combustion synthesis of lanthanum chromite starting from watersolutions: Investigation of process mechanism by DTA-TGA-MS. *J Eur Ceram Soc*. 24(2004), 3021–3034.
4. C.-C. Hwang, T. H. T-H Huang, J. S. Tsai, C. S. Lin, C. H Peng, Combustion synthesis of nanocrystallineceria (CeO_2) powders by a dry route. *Mater. Sci. Eng. B-ADV*, 132(2006), 229–238.
5. L. Shea, J. Kittrick, O. Lopez, synthesis of red-emitting, small particle size luminescent oxide using an optimized combustion process. *Am. Ceram. Soc.* 79(1996), 3257–3265.
6. A. R. Tehrani-Bagha, N. M. Mahmoodi, M. Markazi, E. Talaee. Removal of a cationic dye from wastewater by low-cost kaolin. *J. Color Sci. Tech.* 3(2009), 145–155
7. S. J. Allen, K. Y. Khadar, H. M. Bino, Electrooxidation of Dyestuffs in Wastewaters. *Chem. Tech. Biol.* 6(1995), 111–117.
8. C.-C. Hwang, J.-S. Tsai, T. H. Huang, Combustion synthesis of Ni-Zn ferrite by using glycine and metal nitrates—investigations of precursor homogeneity, product reproducibility and reaction mechanism. *Mater. Chem. Phys*, 93(2005), 330–336.
9. D. Visinescu, B. Jurca, A. Ianculescu, O. Carp, Starch – A suitable fuel in new low-temperature combustion-based synthesis of zinc aluminate oxides. *Polyhedron*. 30(2011), 2824–2831.
10. P. Prabhakar Rao, M. L. P Reddy, $(\text{TiO}_2)_x(\text{CeO}_2)_{1-x}$ (RE_2O_3) $_x$ – novel environmental secure pigments. *Dyes Pigm.* 73(2007), 292–297.
11. N. M. Mahmoodi, M. Arami, J. Zhang, Preparation and photocatalytic activity of immobilized composite-photocatalyst (titania nanoparticle/activated carbon). *Alloys Compd.* 509(2011), 4754–4764.
12. P. N. Palanisamy, P. Sivakumar, Kinetic and isotherm studies of the adsorption of Acid Blue 92 using a low-cost non-conventional activated carbon. *Desalination*. 249(2009), 388–397.
13. A. Szygu 1a, E. Guibal, M. Arin̄ o, A. Maria Sastre, Removal of an anionic dye (Acid Blue 92) by coagulation–flocculation using chitosan. *Environ. Manage.* 90(2009), 2979–2986.
14. A. Goshadrou, A. Moheb, Continuous fixed bed adsorption of C.I. Acid Blue 92 by exfoliated graphite: An experimental and modeling study. *Desalination*. 269(2011), 170 –176.
15. J. Basiri Parsa, S. Hagh Negahdar, Treatment of wastewater containing Acid Blue 92 dye by advanced ozone-based oxidation methods. *Sep. Purif. Technol.* 98(2012), 315–320.
16. Y. Al-Ani, Y. Li, Degradation of C.I. Reactive Blue 19 using combined iron scrap process and coagulation/flocculation by a novel Al(OH)_3 -polyacrylamide hybrid polymer. *Taiwan. Inst. Chem. E.* 43(2012), 942–947.
17. N. K Nga, P. T. Thuy Hong, T. D. Lam, T. Q Huy, A facile synthesis of nanostructured magnesium oxide particles for enhanced adsorption performance in reactive blue 19 removal. *Colloid Interface Sci.* 398(2013), 210–216.
18. T. Y. Chena, C. M. Kaoa, A. Hongb, C. E Lina, S. H Liang, Application of ozone on the decolorization of reactive dyes Orange-13 and Blue19. *Desalination*. 249(2009), 1238–1242.
19. I. Langmuir, The constitution and fundamental properties of solids and liquids. *Am.Chem. Soc.* 38(1946), 2221–2295 .
20. M. J. Tempkin, V. Pyzhev, Recent modifications to Langmuir isotherms. *Acta Physiochim. Ussr.* 12(1940).
21. Y. S .Ho, G. Mckay, Pseudo-Second order model for sorption processes. *Process Biochem.* 34(1999), 451–465